

01;03

Нелинейный анализ закономерностей реализации неустойчивости Рэлея–Тейлора на заряженной границе раздела сред

© А.И. Григорьев, Д.М. Пожарицкий

Ярославский государственный университет им. П.Г. Демидова,
150000 Ярославль, Россия
e-mail: grig@uniyar.ac.ru

(Поступило в Редакцию 25 октября 2006 г. В окончательной редакции 18 июля 2007 г.)

В третьем порядке малости по произведению амплитуды волны на волновое число найдено аналитическое асимптотическое решение задачи о расчете нелинейной стадии неустойчивости Рэлея–Тейлора на однородно заряженной границе раздела двух несмешивающихся идеальных несжимаемых жидкостей, одна из которых проводящая, а другая — диэлектрическая. Выяснилось, что наличие заряда на границе раздела сред приводит к расширению диапазона длин волн, претерпевающих неустойчивость, за счет смещения в область коротких длин волн и к уменьшению длины волны, обладающей максимальным инкрементом. В итоге характерный линейный масштаб деформации поверхности раздела сред, связанный с протеканием тяжелой жидкости в легкую, уменьшается с возрастанием поверхностной плотности электрического заряда пропорционально корню квадратному из параметра Тонкса–Френкеля, характеризующего устойчивость поверхности раздела по отношению к распределенному по ней заряду.

PACS: 47.10.-g

Введение

Исследование неустойчивости Рэлея–Тейлора, интенсивно проводившееся в середине прошлого века в связи с проблемами разработки ядерного оружия [1], в последние годы развивается в связи с проблемами инерционного термоядерного синтеза [2–5] и сонолюминесценции [6,7]. Обсуждаемый тип неустойчивости проявляется и на заряженной поверхности мениска жидкости на торце капиллярной трубки [8] в разнообразных устройствах для электродиспергирования жидкости (см., например, обзоры [9,10] и указанную там литературу). В подобной ситуации определяющую роль в силовом воздействии на поверхность жидкости играет давление электрического поля, и кроме неустойчивости Рэлея–Тейлора может реализоваться неустойчивость Тонкса–Френкеля [8,11,12]. Исследованию влияния электрического поля на закономерности реализации неустойчивости Рэлея–Тейлора на заряженной границе раздела сред посвящена настоящая работа.

1. Формулировка задачи

Пусть идеальные, несжимаемые жидкости с плотностями ρ_1 и ρ_2 , где $\rho_1 \leq \rho_2$, заполняют в поле сил тяжести полупространства $z \leq 0$ и $z > 0$ соответственно в декартовой системе координат, орт \mathbf{e}_z которой направлен против направления ускорения силы тяжести $\mathbf{e}_z \parallel -\mathbf{g}$. Примем, что верхняя жидкость является диэлектриком с диэлектрической проницаемостью ε_* , нижняя — идеальным проводником, а на границе раздела сред, которая характеризуется коэффициентом поверхностного натяжения σ , однородно распределен электрический заряд с поверхностной плотностью κ так, что в верхней

жидкости существует однородное электростатическое поле $E_0 \equiv 4\pi\kappa/\varepsilon_*$, направленное параллельно орту \mathbf{e}_z .

Будем рассматривать плоскую периодическую капиллярно-гравитационную волну конечной, но малой по сравнению с ее длиной, амплитуды, бегущую по границе раздела жидкостей в положительном направлении орта \mathbf{e}_x . Уравнение волны в начальный момент времени имеет вид:

$$t = 0 : \quad \xi(x, t) = a \cos(kx - \omega t). \quad (1)$$

Уравнение границы раздела жидкостей, искаженной волновым движением, запишем в виде $z = \xi(x, t)$. Поставим целью расчет параметров нелинейной волны в рассматриваемой системе в аналитической асимптотической процедуре с точностью до четвертого порядка малости по произведению амплитуды волны a на ее волновое число k (т.е. введем малый параметр $\varepsilon \equiv ak$). Проследим эволюцию профиля волны во времени, задаваясь вопросом: каким образом „тяжелая“ жидкость будет „проваливаться“ в более легкую среду и какое влияние на этот процесс оказывает электрический заряд, распределенный по границе раздела. Все рассмотрение проведем в безразмерных переменных, в которых $\rho_1 = g = \sigma = 1$. Тогда масштабами измерения расстояния, времени, частоты будут

$$\alpha \equiv \sqrt{\sigma/\rho_1 g}; \quad \sqrt{\alpha/g}; \quad \sqrt{g/\alpha}.$$

Математическая модель сформулированной задачи в рассматриваемой системе имеет вид

$$z > \xi : \quad \Delta\Phi = 0; \quad \Delta\varphi_2 = 0;$$

$$z \leq \xi : \quad \Delta\varphi_1 = 0;$$

$$\begin{aligned}
z = \xi : \quad & -\rho \frac{\partial \varphi_2}{\partial t} - \rho z - \frac{\rho}{2} (\nabla \varphi_2)^2 + \frac{\partial \varphi_1}{\partial t} + z \\
& + \frac{1}{2} (\nabla \varphi_1)^2 + \frac{\varepsilon_* (\nabla \Phi)^2}{8\pi} = -\frac{\partial^2 \xi}{\partial x^2} \left(1 + \left(\frac{\partial \xi}{\partial x} \right)^2 \right)^{-3/2}; \\
& \rho = \frac{\rho_2}{\rho_1} \geq 1; \\
\frac{\partial \xi}{\partial t} + \frac{\partial \xi}{\partial x} \frac{\partial \varphi_1}{\partial x} = \frac{\partial \varphi_1}{\partial z}; \quad & \frac{\partial \xi}{\partial t} + \frac{\partial \xi}{\partial x} \frac{\partial \varphi_2}{\partial x} = \frac{\partial \varphi_2}{\partial z}; \quad \Phi = 0; \\
z \rightarrow \infty : \quad & \nabla \Phi \rightarrow -E_0 \mathbf{e}_z; \quad \nabla \varphi_2 \rightarrow 0; \\
z \rightarrow -\infty : \quad & \nabla \varphi_1 \rightarrow 0. \tag{2}
\end{aligned}$$

Для однозначной разрешимости обсуждаемой задачи кроме (1) необходимо сформулировать еще одно начальное условие. Однако в задачах аналитического асимптотического расчета нелинейного волнового движения проблема выбора начальных условий оказывается довольно тонким вопросом, поскольку произвольное заданное второе начальное условие может привести к неоправданному увеличению громоздкости решения. Поэтому в классических аналитических расчетах нелинейных периодических волн второе граничное условие выбирается на финальной стадии решения так, чтобы аналитический вид решения был наименее громоздким. Фактически требование определения второго начального условия заменяется принципом; искать решение, наименее громоздкое в смысле математического описания. Именно такой подход используется в настоящей работе.

2. Процедура разбиения задачи по порядкам малости

Очевидно, что в нулевом приближении по ε поверхность раздела сред находится в невозмущенном состоянии и описывается уравнением $z = 0$, жидкости покоятся, а электрическое поле однородно:

$$\xi^{(0)} \equiv 0; \quad \nabla \varphi_1^{(0)} \equiv 0; \quad \nabla \varphi_2^{(0)} \equiv 0; \quad \nabla \Phi^{(0)} \equiv -E_0 \mathbf{e}_z.$$

Подставив эти выражения в (2), получим

$$\Phi_0 \equiv -E_0 z.$$

Неизвестными функциями в задаче являются: возмущение границы раздела сред $\xi(x, t)$, потенциал поля скоростей в первой среде (нижней) $\varphi_1(\mathbf{r}, t)$, потенциал поля скоростей во второй среде (верхней) $\varphi_2(\mathbf{r}, t)$ и потенциал электростатического поля $\Phi(\mathbf{r}, t)$. Будем их искать в виде разложений

$$\xi = \varepsilon \xi^{(1)} + \varepsilon^2 \xi^{(2)} + \varepsilon^3 \xi^{(3)} + \varepsilon^4 \xi^{(4)} + O(\varepsilon^5),$$

$$\Phi = -E_0 z + \varepsilon \Phi^{(1)} + \varepsilon^2 \Phi^{(2)} + \varepsilon^3 \Phi^{(3)} + \varepsilon^4 \Phi^{(4)} + O(\varepsilon^5),$$

$$\varphi_1 = \varepsilon \varphi_1^{(1)} + \varepsilon^2 \varphi_1^{(2)} + \varepsilon^3 \varphi_1^{(3)} + \varepsilon^4 \varphi_1^{(4)} + O(\varepsilon^5),$$

$$\varphi_2 = \varepsilon \varphi_2^{(1)} + \varepsilon^2 \varphi_2^{(2)} + \varepsilon^3 \varphi_2^{(3)} + \varepsilon^4 \varphi_2^{(4)} + O(\varepsilon^5).$$

Решать задачу будем методом многих масштабов. Для этого примем, что неизвестные функции $\xi^{(i)}(x, t)$, $\Phi^{(i)}(\mathbf{r}, t)$, $\varphi_1^{(i)}(\mathbf{r}, t)$, $\varphi_2^{(i)}(\mathbf{r}, t)$ зависят, помимо координат x и z , от разных временных масштабов: от основного $T_0 \equiv t$ и более медленных: $T_1 \equiv \varepsilon t$, $T_2 \equiv \varepsilon^2 t$, $T_3 \equiv \varepsilon^3 t$, т.е.

$$\xi^{(i)}(x, t) = \xi^{(i)}(x, T_0, T_1, T_2, T_3);$$

$$\Phi^{(i)}(\mathbf{r}, t) = \Phi^{(i)}(x, z, T_0, T_1, T_2, T_3),$$

$$\varphi_1^{(i)}(\mathbf{r}, t) = \varphi_1^{(i)}(x, z, T_0, T_1, T_2, T_3);$$

$$\varphi_2^{(i)}(\mathbf{r}, t) = \varphi_2^{(i)}(x, z, T_0, T_1, T_2, T_3).$$

С учетом этого оператор дифференцирования по времени принимает вид

$$\frac{\partial}{\partial t} = \frac{\partial}{\partial T_0} + \varepsilon \frac{\partial}{\partial T_1} + \varepsilon^2 \frac{\partial}{\partial T_2} + \varepsilon^3 \frac{\partial}{\partial T_3} + O(\varepsilon^4). \tag{4}$$

Граничные условия на поверхности раздела сред также разложим по малому параметру ε в окрестности невозмущенной границы раздела: $z = 0$. При разложении частных производных по времени ($\partial \xi / \partial t$) и ($\partial \varphi_i / \partial t$) будем учитывать (4). Подставив разложения (3) в (2), собрав слагаемые при одинаковых степенях ε и приравняв их нулю, разобьем задачу на порядки малости от первого до четвертого.

2а. Задача первого порядка малости

Математическая формулировка задачи первого порядка малости имеет вид

$$z > 0 : \quad \Delta \Phi^{(1)} = 0; \quad \Delta \varphi_2^{(1)} = 0,$$

$$z < 0 : \quad \Delta \varphi_1^{(1)} = 0,$$

$$z = 0 :$$

$$-\rho \xi^{(1)} - \rho \frac{\partial \varphi_2^{(1)}}{\partial T_0} + \xi^{(1)} + \frac{\partial \varphi_1^{(1)}}{\partial T_0} - \frac{E_0}{4\pi} \frac{\partial \Phi^{(1)}}{\partial z} + \frac{\partial^2 \xi^{(1)}}{\partial x^2} = 0,$$

$$\frac{\partial \xi^{(1)}}{\partial T_0} - \frac{\partial \varphi_1^{(1)}}{\partial z} = 0; \quad \frac{\partial \xi^{(1)}}{\partial T_0} - \frac{\partial \varphi_2^{(1)}}{\partial z} = 0; \quad \Phi^{(1)} - E_0 \xi^{(1)} = 0,$$

$$z \rightarrow \infty : \quad \nabla \Phi^{(1)} \rightarrow 0; \quad \nabla \varphi_2^{(1)} \rightarrow 0,$$

$$z \rightarrow -\infty : \quad \nabla \varphi_1^{(1)} \rightarrow 0.$$

При решении задачи порядка малости отыскиваются аналитические выражения для $\xi^{(1)}(x, t)$, $\Phi^{(1)}(\mathbf{r}, t)$, $\varphi_1^{(1)}(\mathbf{r}, t)$, $\varphi_2^{(1)}(\mathbf{r}, t)$, а также дисперсионное уравнение, имеющее вид

$$\omega^2 \equiv - \left[\frac{k}{(1 + \rho)} ((\rho - 1) + Wk - k^2) \right]; \quad W = \frac{\varepsilon_* E_0^2}{4\pi \sqrt{\rho_1 g \sigma}}.$$

Параметр W , определяемый как отношение давления электрического поля на границу раздела к капиллярному давлению под искривленной волновым движением границей, характеризует устойчивость поверхности раздела сред по отношению к однородно распределенному по ней электрическому заряду (при $\rho_2 = 0$ его называют параметром Тонкса–Френкеля).

2b. Исследование дисперсионного соотношения

Критические условия реализации неустойчивости границы раздела сред (критические величины волнового числа k и параметра W) по отношению к гравитационным и электрическим силам определяется условиями

$$\omega^2 = 0; \quad \frac{\partial \omega}{\partial k} = 0.$$

Из первого условия следует, что правая часть дисперсионного уравнения обращается в нуль при $k = k_*$, где

$$k_* = \frac{1}{2} \left(W + \sqrt{W^2 + 4(\rho - 1)} \right)$$

и есть критическое для реализации неустойчивости значение волнового числа, определяющее правую границу диапазона волновых чисел неустойчивости волн $0 \leq k \leq k_*$ (рис. 1). Несложно видеть, что при достаточно больших значениях параметра W (когда $W \gg 4(\rho - 1)$) критическая величина волнового числа определится величиной параметра W :

$$k_* \approx W.$$

Для длинных волн при $0 < k < k_*$ выполняется соотношение: $\omega^2 < 0$ (рис. 2), и следовательно, виртуальные волновые возмущения границы раздела с волновыми числами из этого диапазона экспоненциально нарастают со временем. Для коротких волн с волновыми числами $k > k_*$ квадрат частоты положителен: $\omega^2 > 0$, а волновые виртуальные возмущения границы раздела с волновыми числами из указанного диапазона не будут приводить к неустойчивости.

Поскольку нас интересуют именно неустойчивые решения, дальнейший анализ проведем в диапазоне волновых чисел $0 < k < k_*$, а дисперсионное уравнение переписем следующим образом:

$$\omega^2 = \omega_*^2 i^2 \Rightarrow \omega - i\gamma,$$

$$\gamma^2 \equiv \left[\frac{k}{(1 + \rho)} ((\rho - 1) + Wk - k^2) \right],$$

где γ имеет смысл инкремента неустойчивости. Из (5) видно, что величина инкремента растет с увеличением параметра W . Приравняв нулю производную от инкремента по волновому числу, несложно найти выражение для волнового числа волны, обладающей максимальным инкрементом

$$k_{\max} = \frac{1}{3} \left(W + \sqrt{W^2 + 3(\rho - 1)} \right).$$

Видно, что инкремент увеличивается с ростом параметра W , и при больших значениях параметра W , когда $W \gg 4(\rho - 1)$, зависимость волнового числа волны с максимальным инкрементом от параметра W становится линейной $k_{\max} \approx 2W/3$. Величина инкремента перестает

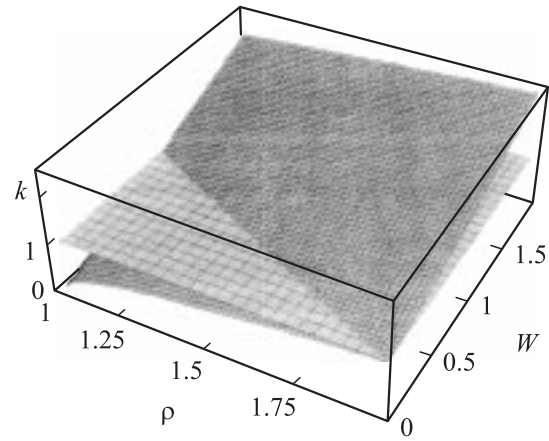


Рис. 1. Зависимость критического безразмерного волнового числа k от отношения плотностей $\rho \geq 1$ и величины параметра Тонкса–Френкеля W , пересеченная плоскостью $k = 1$.

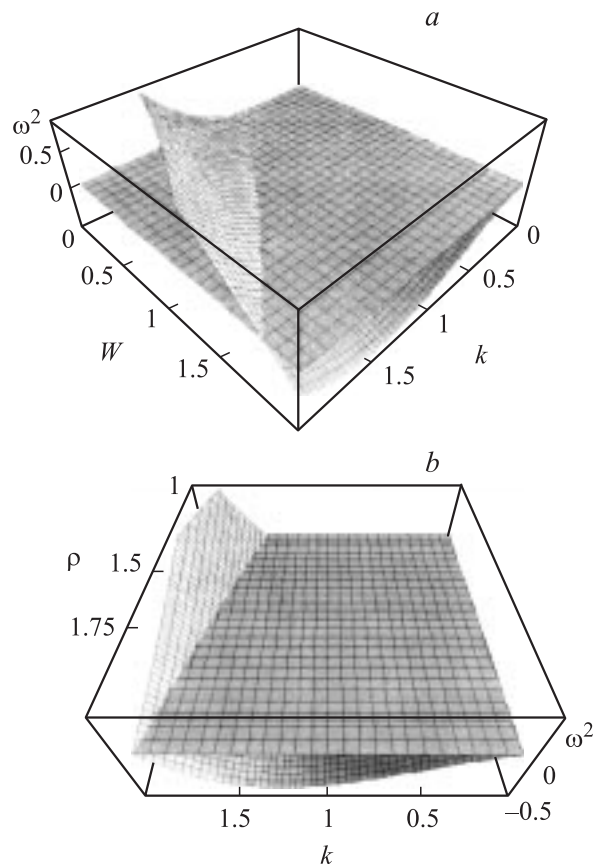


Рис. 2. Пересеченная плоскостью $\omega^2 = 0$ зависимость квадрата безразмерной частоты ω^2 от безразмерного волнового числа k и а — параметра Тонкса–Френкеля W при $\rho = 1.5$; б — отношения плотностей $\rho \geq 1$ при $W = 1.5$.

зависеть от волнового числа, а его зависимость от параметра W и отношения плотностей ρ становится более простой:

$$\gamma \approx \sqrt{(\rho - 1)W / (\rho + 1)}.$$

Из сказанного ясно, что увеличение плотности поверхностного заряда на границе раздела сред будет приводить к уменьшению длины наиболее неустойчивой волны и к увеличению инкремента ее неустойчивости.

Выражения для профиля волны, потенциалов полей скоростей и электростатического потенциала в первом порядке малости отыскиваются в виде (черта над символом означает комплексное сопряжение)

$$\xi^{(1)}(x, T_0) = \left(\frac{1}{2} \xi \exp(ikx) + \frac{1}{2} \bar{\xi} \exp(-ikx) \right) \exp(\gamma T_0),$$

$$\begin{aligned} \varphi_1^{(1)}(\mathbf{r}, t) = & -\frac{\gamma}{2k} \xi \exp(-kz) \exp(ikx) \exp(\gamma T_0) \\ & + \frac{\gamma}{2k} \bar{\xi} \exp(-kz) \exp(-ikx) \exp(\gamma T_0); \end{aligned}$$

$$\begin{aligned} \varphi_2^{(1)}(\mathbf{r}, t) = & \frac{\gamma}{2k} \xi \exp(kz) \exp(ikx) \exp(\gamma T_0) \\ & - \frac{\gamma}{2k} \bar{\xi} \exp(kz) \exp(-ikx) \exp(\gamma T_0); \end{aligned}$$

$$\begin{aligned} \Phi^{(1)}(\mathbf{r}, t) = & \frac{E_0}{2} \xi \exp(-kz) \exp(ikx) \exp(\gamma T_0) \\ & + \frac{E_0}{2} \bar{\xi} \exp(-kz) \exp(-ikx) \exp(\gamma T_0); \end{aligned}$$

$$\xi = \xi(T_1, T_2, T_3). \quad (6)$$

2с. Задача второго порядка малости

Математическая формулировка задачи второго порядка малости имеет вид

$$z > 0: \quad \Delta \Phi^{(2)} = 0; \quad \Delta \varphi_2^{(2)} = 0,$$

$$z < 0: \quad \Delta \varphi_1^{(2)} = 0,$$

$$z = 0:$$

$$-\rho \xi^{(2)} - \rho \frac{\partial \varphi_2^{(2)}}{\partial T_0} + \xi^{(2)} + \frac{\partial \varphi_1^{(2)}}{\partial T_0} - \frac{E_0}{4\pi} \frac{\partial \Phi^{(2)}}{\partial z} + \frac{\partial^2 \xi^{(2)}}{\partial x^2} = \Lambda_{21},$$

$$\frac{\partial \xi^{(2)}}{\partial T_0} - \frac{\partial \varphi_1^{(2)}}{\partial z} = \Lambda_{22}; \quad \frac{\partial \xi^{(2)}}{\partial T_0} - \frac{\partial \varphi_2^{(2)}}{\partial z} = \Lambda_{23};$$

$$\Phi^{(2)} - E_0 \xi^{(2)} = \Lambda_{24},$$

$$z \rightarrow \infty: \quad \nabla \Phi^{(2)} \rightarrow 0; \quad \nabla \varphi_2^{(2)} \rightarrow 0,$$

$$z \rightarrow -\infty: \quad \nabla \varphi_1^{(2)} \rightarrow 0,$$

где функции неоднородностей в правых частях граничных условий при $z = 0$ имеют вид

$$\begin{aligned} \Lambda_{21} = & -\frac{1}{2} \left(\frac{\partial \varphi_1^{(1)}}{\partial z} \right)^2 + \frac{\rho}{2} \left(\frac{\partial \varphi_2^{(1)}}{\partial z} \right)^2 - \frac{1}{2} \left(\frac{\partial \varphi_1^{(1)}}{\partial x} \right)^2 \\ & + \frac{\rho}{2} \left(\frac{\partial \varphi_2^{(1)}}{\partial x} \right)^2 - \frac{\partial \varphi_1^{(1)}}{\partial T_1} + \rho \frac{\partial \varphi_2^{(1)}}{\partial T_1} - \xi^{(1)} \frac{\partial^2 \varphi_1^{(1)}}{\partial T_0 \partial z} \\ & + \rho \xi^{(1)} \frac{\partial^2 \varphi_2^{(1)}}{\partial T_0 \partial z} - \frac{1}{8\pi} \left(\frac{\partial \Phi^{(1)}}{\partial z} \right)^2 - \frac{1}{8\pi} \left(\frac{\partial \Phi^{(1)}}{\partial x} \right)^2 \\ & + \frac{E_0}{4\pi} \xi^{(1)} \frac{\partial^2 \Phi^{(1)}}{\partial z^2}; \end{aligned}$$

$$\Lambda_{22} = -\frac{\partial \xi^{(1)}}{\partial T_1} + \xi^{(1)} \frac{\partial^2 \varphi_1^{(1)}}{\partial z^2} - \frac{\partial \xi^{(1)}}{\partial x} \frac{\partial \varphi_1^{(1)}}{\partial x},$$

$$\Lambda_{23} = -\frac{\partial \xi^{(1)}}{\partial T_1} + \xi^{(1)} \frac{\partial^2 \varphi_2^{(1)}}{\partial z^2} - \frac{\partial \xi^{(1)}}{\partial x} \frac{\partial \varphi_2^{(1)}}{\partial x},$$

$$\Lambda_{24} = -\xi^{(1)} \frac{\partial \Phi^{(1)}}{\partial z}.$$

Решение задачи второго порядка малости для профиля волны, потенциалов полей скоростей и электростатического потенциала имеет вид

$$\begin{aligned} \xi^{(2)}(x, t) = & \Omega_{21} \left(\frac{1}{2} \xi^2 \exp(2ikx) + \frac{1}{2} \bar{\xi}^2 \exp(-2ikx) \right) \\ & \times \exp(2\gamma t), \end{aligned}$$

$$\Omega_{21} = k((\rho - 1)(k^2 + 2Wk - (\rho - 1)) / \Xi_1);$$

$$\begin{aligned} \varphi_1^{(2)} = & -\frac{1}{2} \Omega_{22} (i \xi^2 \exp(2ikx) - i \bar{\xi}^2 \exp(-2ikx)) \\ & \times \exp(2\gamma t) \exp(-2kz); \end{aligned}$$

$$\Omega_{22} = -\gamma((1 + 3\rho)\alpha^2 k^2 + 2Wak + 2(\rho - 1)) / \Xi_1;$$

$$\begin{aligned} \varphi_2^{(2)} = & \frac{1}{2} \Omega_{23} (i \xi^2 \exp(2ikx) - i \bar{\xi}^2 \exp(-2ikx)) \\ & \times \exp(2\gamma t) \exp(2kz); \end{aligned}$$

$$\Omega_{23} = -\gamma((3 + \rho)\alpha^2 k^2 - 2Wak + 2\rho(\rho - 1)) / \Xi_1;$$

$$\begin{aligned} \Phi^{(2)} = & \frac{kE_0}{2} \xi \bar{\xi} + \frac{kE_0}{2} \Omega_{24} (\xi^2 \exp(2ikx) + \bar{\xi}^2 \exp(-2ikx)) \\ & \times \exp(2\gamma t) \exp(-2kz); \end{aligned}$$

$$\Omega_{24} = -((1 + 3\rho)\alpha^2 k^2 + 2Wak + 2(\rho - 1)) / \Xi_1;$$

$$\Xi_1 \equiv -2(1 + \rho)[(\rho - 1) + 2k^2]. \quad (7)$$

2d. Задача третьего порядка малости

Математическая формулировка задачи третьего порядка малости имеет вид

$$z > 0: \quad \Delta\Phi^{(3)} = 0; \quad \Delta\varphi_2^{(3)} = 0,$$

$$z < 0: \quad \Delta\varphi_1^{(3)} = 0,$$

$$z = 0:$$

$$-\rho\xi^{(3)} - \rho \frac{\partial\varphi_2^{(3)}}{\partial T_0} + \xi^{(3)} + \frac{\partial\varphi_1^{(3)}}{\partial T_0} - \frac{E_0}{4\pi} \frac{\partial\Phi^{(3)}}{\partial z} + \frac{\partial^2\xi^{(3)}}{\partial x^2} = \Lambda_{31},$$

$$\frac{\partial\xi^{(3)}}{\partial T_0} - \frac{\partial\varphi_1^{(3)}}{\partial z} = \Lambda_{32}; \quad \frac{\partial\xi^{(3)}}{\partial T_0} - \frac{\partial\varphi_2^{(3)}}{\partial z} = \Lambda_{33};$$

$$\Phi^{(3)} - E_0\xi^{(3)} = \Lambda_{34},$$

$$z \rightarrow \infty: \quad \nabla\Phi^{(3)} \rightarrow 0; \quad \nabla\varphi_2^{(3)} \rightarrow 0,$$

$$z \rightarrow -\infty: \quad \nabla\varphi_1^{(3)} \rightarrow 0.$$

Выражения для функций неоднородностей Λ_{31} , Λ_{32} , Λ_{33} , Λ_{34} в правых частях граничных условий на поверхности раздела, определяющиеся решениями первого и второго порядков малости, имеют вид

$$\begin{aligned} \Lambda_{31} = & \frac{3}{2} \left(\frac{\partial\xi^{(1)}}{\partial x} \right)^2 \frac{\partial^2\xi^{(1)}}{\partial x^2} - \frac{\partial\varphi_1^{(1)}}{\partial z} \frac{\partial\varphi_1^{(2)}}{\partial z} + \rho \frac{\partial\varphi_2^{(1)}}{\partial z} \frac{\partial\varphi_2^{(2)}}{\partial z} \\ & - \xi^{(1)} \frac{\partial\varphi_1^{(1)}}{\partial z} \frac{\partial^2\varphi_1^{(1)}}{\partial z^2} + \rho\xi^{(1)} \frac{\partial\varphi_2^{(1)}}{\partial z^2} \frac{\partial^2\varphi_2^{(1)}}{\partial z^2} - \frac{\partial\varphi_1^{(1)}}{\partial x} \frac{\partial\varphi_1^{(2)}}{\partial x} \\ & + \rho \frac{\partial\varphi_2^{(1)}}{\partial x} \frac{\partial\varphi_2^{(2)}}{\partial x} - \xi^{(1)} \frac{\partial\varphi_1^{(1)}}{\partial x} \frac{\partial^2\varphi_1^{(1)}}{\partial z\partial x} + \rho\xi^{(1)} \frac{\partial\varphi_2^{(1)}}{\partial x} \frac{\partial^2\varphi_2^{(1)}}{\partial z\partial x} \\ & - \frac{\partial\varphi_1^{(1)}}{\partial T_2} + \rho \frac{\partial\varphi_2^{(1)}}{\partial T_2} - \frac{\partial\varphi_1^{(2)}}{\partial T_1} + \rho \frac{\partial\varphi_2^{(2)}}{\partial T_1} - \xi^{(1)} \frac{\partial^2\varphi_1^{(1)}}{\partial T_1\partial z} \\ & + \rho\xi^{(1)} \frac{\partial^2\varphi_2^{(1)}}{\partial T_1\partial z} - \xi^{(2)} \frac{\partial^2\varphi_1^{(1)}}{\partial T_0\partial z} + \rho\xi^{(2)} \frac{\partial^2\varphi_2^{(1)}}{\partial T_0\partial z} - \xi^{(1)} \frac{\partial^2\varphi_1^{(2)}}{\partial T_0\partial z} \\ & + \rho\xi^{(1)} \frac{\partial^2\varphi_2^{(2)}}{\partial T_0\partial z} - \frac{1}{2} (\xi^{(1)})^2 \frac{\partial^3\varphi_1^{(1)}}{\partial T_0\partial z^2} + \frac{\rho}{2} (\xi^{(1)})^2 \frac{\partial^3\varphi_2^{(1)}}{\partial T_0\partial z^2} \\ & - \frac{1}{4\pi} \frac{\partial\Phi^{(1)}}{\partial z} \frac{\partial\Phi^{(2)}}{\partial z} + \frac{E_0}{4\pi} \xi^{(2)} \frac{\partial^2\Phi^{(1)}}{\partial z^2} - \frac{1}{4\pi} \xi^{(1)} \frac{\partial\Phi^{(1)}}{\partial z} \frac{\partial^2\Phi^{(1)}}{\partial z^2} \\ & + \frac{E_0}{4\pi} \xi^{(1)} \frac{\partial^2\Phi^{(2)}}{\partial z^2} + \frac{E_0}{8\pi} (\xi^{(1)})^2 \frac{\partial^3\Phi^{(1)}}{\partial z^3} - \frac{1}{4\pi} \frac{\partial\Phi^{(1)}}{\partial x} \frac{\partial\Phi^{(2)}}{\partial x} \\ & - \frac{1}{4\pi} \xi^{(1)} \frac{\partial\Phi^{(1)}}{\partial x} \frac{\partial^2\Phi^{(1)}}{\partial x\partial z}; \\ \Lambda_{32} = & -\frac{\partial\xi^{(1)}}{\partial T_2} - \frac{\partial\xi^{(2)}}{\partial T_1} + \xi^{(2)} \frac{\partial^2\varphi_1^{(1)}}{\partial z^2} + \xi^{(1)} \frac{\partial^2\varphi_1^{(2)}}{\partial z^2} \\ & + \frac{1}{2} (\xi^{(1)})^2 \frac{\partial^3\varphi_1^{(1)}}{\partial z^3} - \frac{\partial\xi^{(2)}}{\partial x} \frac{\partial\varphi_1^{(1)}}{\partial x} - \frac{\partial\xi^{(1)}}{\partial x} \frac{\partial\varphi_1^{(2)}}{\partial x} \\ & - \xi^{(1)} \frac{\partial\xi^{(1)}}{\partial x} \frac{\partial^2\varphi_1^{(1)}}{\partial x\partial z}; \end{aligned}$$

$$\begin{aligned} \Lambda_{33} = & -\frac{\partial\xi^{(1)}}{\partial T_2} - \frac{\partial\xi^{(2)}}{\partial T_1} + \xi^{(2)} \frac{\partial^2\varphi_2^{(1)}}{\partial z^2} + \xi^{(1)} \frac{\partial^2\varphi_2^{(2)}}{\partial z^2} \\ & + \frac{1}{2} (\xi^{(1)})^2 \frac{\partial^3\varphi_2^{(1)}}{\partial z^3} - \frac{\partial\xi^{(2)}}{\partial x} \frac{\partial\varphi_2^{(1)}}{\partial x} - \frac{\partial\xi^{(1)}}{\partial x} \frac{\partial\varphi_2^{(2)}}{\partial x} \\ & - \xi^{(1)} \frac{\partial\xi^{(1)}}{\partial x} \frac{\partial^2\varphi_2^{(1)}}{\partial x\partial z}; \end{aligned}$$

$$\Lambda_{34} = -\xi^{(2)} \frac{\partial\Phi^{(1)}}{\partial z} - \xi^{(1)} \frac{\partial\Phi^{(2)}}{\partial z} - \frac{1}{2} (\xi^{(1)})^2 \frac{\partial^2\Phi^{(1)}}{\partial z^2}.$$

В результате решения задачи третьего порядка малости отыскиваются нелинейные поправки

$$\begin{aligned} \xi^{(3)}(x, t) = & \Omega_{31} \left(\frac{1}{2} \xi^3 \exp(3ikx) + \frac{1}{2} \bar{\xi}^3 \exp(-3ikx) \right) \\ & \times \exp(3\gamma t), \end{aligned}$$

$$\begin{aligned} \Omega_{31} = & k^2 \left(2k^4(3\rho^2 - 10\rho + 3) + 32W^2k^2 - (\rho - 1) \right) \\ & \times (21\rho^2 - 22\rho + 21)k^2 + 32Wk(\rho - 1)[k^2 - (\rho - 1)] \\ & + (\rho - 1)^2 [6\rho^2 - 20\rho + 6] / \Xi_1\Xi_2; \end{aligned}$$

$$\begin{aligned} \varphi_1^{(3)} = & \frac{1}{2} \Omega_{32} \xi \bar{\xi} (i\xi \exp(ikx) - i\bar{\xi} \exp(-ikx)) \exp(\gamma t) \\ & \times \exp(-kz) + \frac{1}{2} \Omega_{33} (i\xi^3 \exp(3ikx) - i\bar{\xi}^3 \exp(-3ikx)) \\ & \times \exp(3\gamma t) \exp(-3kz); \end{aligned}$$

$$\begin{aligned} \Omega_{32} = & \frac{gk^2}{\omega_0} \left([22 + 4\rho - 2\rho^2](\rho - 1)^2 + \alpha^2k^2 [8W^2(5 + 3\rho) \right. \\ & - (\rho - 1)(23 - 34\rho - 25\rho^2)] - 2\alpha^4k^4(-5 + 10\rho + 7\rho^2) \\ & - 2Wak[(\rho - 1)(-27 - 6\rho + 5\rho^2) \\ & \left. + 8\alpha^2k^2(\rho - 3)^2] \right) / 8(1 + \rho)^2\Xi_1; \end{aligned}$$

$$\begin{aligned} \Omega_{33} = & \gamma k \left(32W^2\alpha^2k^2 - 8(\rho - 3)(\rho - 1)^2 - \alpha^2k^2(\rho - 1) \right) \\ & \times (-33 - 82\rho + 15\rho^2) + 2\alpha^4k^4(3 + 26\rho + 39\rho^2) \\ & + 8Wak[-(\rho - 7)(\rho - 1) + \alpha^2k^2(5 + 13\rho)] / \Xi_1\Xi_2; \end{aligned}$$

$$\begin{aligned} \varphi_2^{(3)} = & \frac{1}{2} \Omega_{34} \xi \bar{\xi} (i\xi \exp(ikx) - i\bar{\xi} \exp(-ikx)) \exp(\gamma t) \\ & \times \exp(kz) + \frac{1}{2} \Omega_{35} (i\xi^3 \exp(3ikx) - i\bar{\xi}^3 \exp(-3ikx)) \\ & \times \exp(3\gamma t) \exp(3kz); \end{aligned}$$

$$\begin{aligned} \Omega_{34} = & \frac{gk^2}{\gamma} \left([2 - 4\rho - 22\rho^2](\rho - 1)^2 + 8W^2\alpha^2k^2(1 + 3\rho) \right. \\ & + 2\alpha^4k^4(7 + 10\rho - 5\rho^2) - \alpha^2k^2(\rho - 1)(25 + 34\rho - 23\rho^2) \\ & + 2W\alpha k [-(-9 - 18\rho + 7\rho^2)(\rho - 1) \\ & \left. + 4\alpha^2k^2(-3 - 6\rho + \rho^2) \right] / 8(1 + \rho)^2 \Xi_1; \end{aligned}$$

$$\begin{aligned} \Omega_{35} = & -\gamma k \left(32W^2\alpha^2k^2 + 8\rho(3\rho - 1)(\rho - 1)^2 \right. \\ & - \alpha^2k^2(\rho - 1)(15 - 82\rho - 33\rho^2) \\ & + 2\alpha^4k^4(39 + 26\rho + 3\rho^2) - 8W\alpha k [(7\rho - 1)(\rho - 1) \\ & \left. + \alpha^2k^2(13 + 5\rho) \right] / \Xi_1 \Xi_2; \end{aligned}$$

$$\begin{aligned} \Phi^{(3)} = & \frac{E_0}{2} \Omega_{36} \xi \bar{\xi} (\xi \exp(ikx) + \bar{\xi} \exp(-ikx)) \exp(\gamma t) \\ & \times \exp(-kz) + \frac{E_0}{2} \Omega_{37} (\xi^3 \exp(3ikx) + \bar{\xi}^3 \exp(-3ikx)) \\ & \times \exp(3\gamma t) \exp(-3kz); \end{aligned}$$

$$\begin{aligned} \Omega_{36} = & -k^2(4\alpha^2k^2(2\rho - 1) + 12W\alpha k \\ & + (5\rho - 7)(1 - \rho)) / 4\Xi_1; \end{aligned}$$

$$\begin{aligned} \Omega_{37} = & k^2 \left(32W^2\alpha^2k^2 - 8(\rho - 3)(\rho - 1)^2 + 2\alpha^4k^4(3 + 26\rho \right. \\ & + 39\rho^2) + \alpha^2k^2(\rho - 1)(-33 - 82\rho + 15\rho^2) \\ & \left. + 8W\alpha k [-(\rho - 7)(\rho - 1) + \alpha^2k^2(5 + 13\rho) \right] / \Xi_1 \Xi_2; \end{aligned}$$

$$\Xi_2 \equiv -8(1 + \rho)[(\rho - 1) + 3k^2]. \quad (8)$$

При прешении задачи третьего порядка малости, как результат, также получается зависимость амплитуды волны ξ от временных масштабов T_2 и T_3

$$\xi(T_1, T_2) = \frac{1}{\sqrt{2\beta_1^2(T_3)\delta T_2 + 1}} \beta_1(T_3) \exp(i\beta_2(T_3)),$$

$$\begin{aligned} \delta \equiv & k^3(16W^2k^2 + 16Wk(\rho - 1)[k^2 - (\rho - 1)] \\ & + 8(\rho - 1)^2(1 + \rho^2) - k^2(\rho - 1)(1 - 30\rho + \rho^2) \\ & + 2k^4(1 - 6\rho + \rho^2)) / 8\gamma(1 + \rho)^2 \Xi_1. \end{aligned} \quad (9)$$

Здесь $\beta_2(T_3)$ — функции, которые могут зависеть только от T_3 , явный вид которых определяется при решении задачи более высокого порядка малости.

Общий вид зависимости $\delta = \delta(k, \rho)$ при $W = \text{const}$ проиллюстрирован на рис. 3. Видно, что по абсолютной величине этот множитель невелик, но может принимать как положительные, так и отрицательные значения.

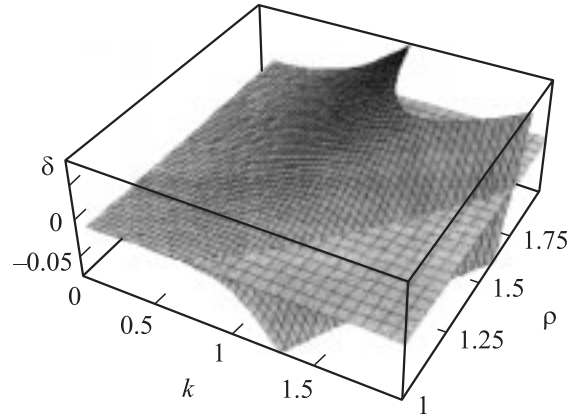


Рис. 3. Зависимость величины безразмерного множителя δ от безразмерного волнового числа k и отношения плотностей $\rho \geq 1$ при значении $W = 0.5$, пересеченная плоскостью $\delta = 0$.

2е. Задача четвертого порядка малости

Математическая формулировка задачи четвертого порядка малости с точностью до обозначения совпадает с формулировкой задачи третьего порядка малости. Функции неоднородности в правых частях граничных условий имеют весьма громоздкий вид и не приводятся. На этом этапе определению подлежат неизвестные функции $\beta_1(T_3)$, $\beta_2(T_3)$, которые в итоге отыскиваются в виде

$$\beta_1(T_3) = 1/k, \quad \beta_2(T_3) = 0,$$

следовательно, в (9)

$$\xi(T_2) = 1/\sqrt{2\delta T_2 + k^2}.$$

3. Запись финального результата

Окончательное аналитическое асимптотическое выражение для профиля неустойчивой волны на однородно заряженной поверхности раздела жидкостей, выписанное с точностью до слагаемых третьего порядка малости, имеет вид

$$\begin{aligned} \xi(x, t) = & \frac{\varepsilon}{\sqrt{2\delta\varepsilon^2t + k^2}} \cos(kx) \exp(\gamma t) + \frac{\varepsilon^2}{k^2} \Omega_{21} \cos(2kx) \\ & \times \exp(2\gamma t) + \frac{\varepsilon^3}{k^3} \Omega_{31} \cos(3kx) \exp(3\gamma t) + O(\varepsilon^4). \end{aligned}$$

4. Анализ полученных результатов

На рис. 4 приведены контуры образующей границы раздела в различные моменты времени от начала реализации неустойчивости Рэлея–Тейлора для различных значений волновых чисел, иллюстрирующие временную эволюцию неустойчивости по отношению к гравитационному и электрическому полям границы раздела жидкостей. На рис. 4, а приведен профиль поверхности

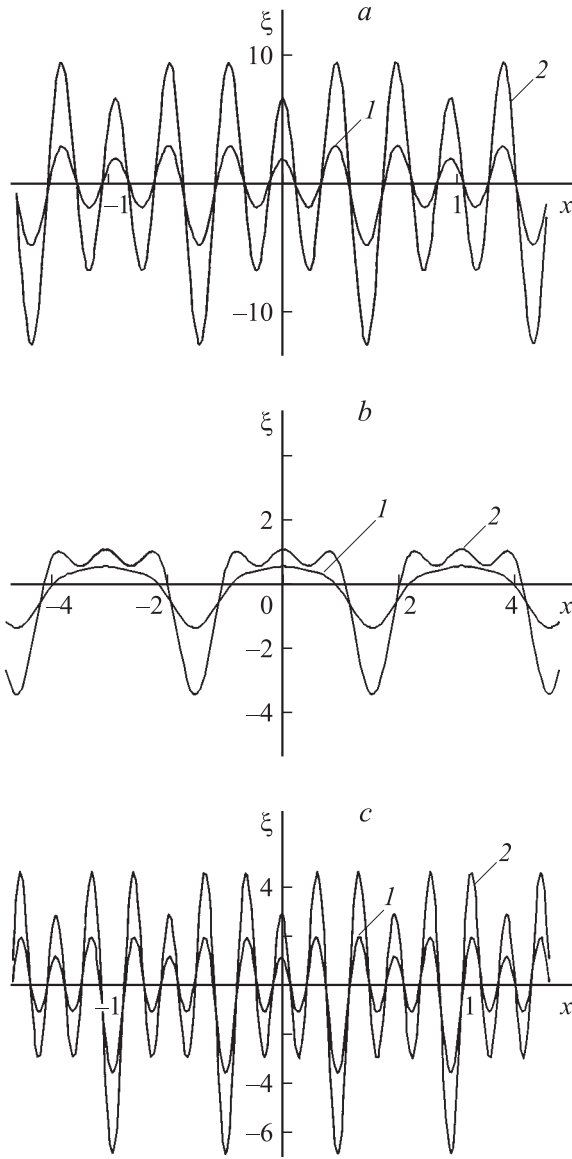


Рис. 4. Профиль неустойчивой границы раздела сред, рассчитанный при различных значениях безразмерного времени, при *a* — $\varepsilon = 0.001$, $W = 10$, $\rho = 1.5$, $k = 6.67$ (кривая 1 соответствует безразмерному времени $t = 0.8$, 2 — 0.85); *b* — $\varepsilon = 0.01$, $W = 2$, $\rho = 1.5$, $k = 2$ (1 — $t = 5$, 2 — 7); *c* — $\varepsilon = 0.01$, $W = 10$, $\rho = 1.5$, $k = 10$ (1 — $t = 4.6$, 2 — 4.8).

раздела сред, определенный неустойчивой волной с максимальным при заданном отношении плотностей и величине параметра W значением инкремента неустойчивости. На рис. 4, *b* и *c* приведены профили поверхности раздела сред, определенные неоптимальными в смысле величины инкремента волнами: на рис. 4, *b* взято волновое число меньше k_{\max} , а на рис. 4, *c* — большее k_{\max} . Из сравнения приведенных фигур видно, что амплитуда неустойчивости волны с максимальным инкрементом увеличивается гораздо быстрее, чем у волн с меньшими и большими значениями волновых чисел. Кроме того, из рис. 4 несложно видеть, что рост

параметра Тонкса–Френкеля W приводит к уменьшению характерного линейного масштаба, на котором происходит протекание тяжелой жидкости в легкую. Указанное обстоятельство означает более однородное перемешивание жидкостей, разделенных заряженной поверхностью, при реализации неустойчивости Рэлея–Тейлора, чем при отсутствии заряда на границе раздела сред, и может иметь серьезные последствия для всех практических приложений феномена неустойчивости Рэлея–Тейлора.

5. Короткие нелинейные капиллярные волны на границе раздела сред в области $k > k_*$

Как было отмечено выше, мелкомасштабные виртуальные возмущения границы раздела сред не приводят к протеканию тяжелой жидкости в легкую, и на границе раздела сред может существовать коротковолновое (капиллярное) волновое движение. Асимптотический аналитический расчет параметров соответствующих нелинейных волн проводится по использованной выше схеме, а потому, не повторяя его, выпишем готовое выражение для профиля нелинейной волны с точностью до слагаемых третьего порядка малости

$$\begin{aligned} \xi(x, t) = & \frac{\varepsilon}{k} \cos(kx - (\omega_0 + \chi\omega_0^{-1}\varepsilon^2)t) + \frac{\varepsilon^2}{k^2} \Omega_{21} \\ & \times \cos(2kx - 2\omega_0 t) + \frac{\varepsilon^3}{k^3} \Omega_{31} \cos(3kx - 3\omega_0 t) + O(\varepsilon^4), \\ \chi \equiv & -k(16W^2k^2 + 16Wk(\rho - 1)[k^2 - (\rho - 1)] \\ & + 8(\rho - 1)^2(1 + \rho^2) - k^2(\rho - 1)(1 - 30\rho + \rho^2) \\ & + 2k^4(1 - 6\rho + \rho^2))/8(1 + \rho)^2\Xi_1. \end{aligned}$$

Устойчивость границы нарушается, когда квадрат частоты проходит через нуль в область отрицательных значений

$$\omega^2 \equiv [\omega_0 + \chi\omega_0^{-1}\varepsilon^2]^2 \leq 0.$$

В третьем порядке малости это условие запишется в виде

$$\omega^2 = (\omega_0 + \chi\omega_0^{-1}\varepsilon^2)^2 \cong \omega_0^2 + 2\chi\varepsilon^2 \leq 0.$$

Видно, что знак нелинейной поправки к частоте определяет влияние нелинейного взаимодействия на устойчивость границы раздела сред по отношению к распределенному на ней электрическому заряду, приводя либо к увеличению устойчивости при положительных χ , либо к снижению устойчивости при отрицательных χ (на рис. 5 приведен общий ход зависимости $\chi = \chi(k, W)$). Нелинейное взаимодействие волн приводит к изменению критической для реализации неустойчивости Тонкса–Френкеля величины безразмерного параметра W , который характеризует устойчивость

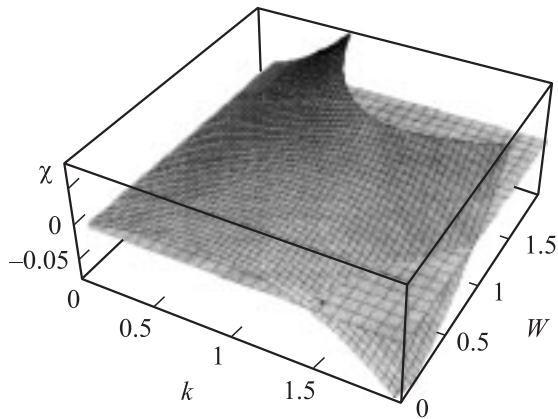


Рис. 5. Зависимость величины безразмерного множителя χ от безразмерного волнового числа k и параметра W при $\rho = 1.5$, пересеченная плоскостью $\chi = 0$.

плоской однородно заряженной поверхности электропроводной жидкости по отношению к поверхностному заряду и безразмерного волнового числа k наиболее неустойчивой волны.

Из выражений для коэффициентов Ω_{21} , Ω_{31} , δ несложно видеть, что формально они имеют резонансный вид, а положения резонансов определяются условиями: $\Xi_1 = 0$ и $\Xi_2 = 0$. Однако волновые числа резонансно взаимодействующих волн лежат в области $0 \leq k \leq k_*$, где волнового движения как такового не существует.

Заключение

Наличие электрического заряда на границе раздела в поле сил тяжести двух несмешивающихся жидкостей различных плотностей в ситуации, когда более плотная жидкость находится над менее плотной жидкостью, приводит к уменьшению характерного линейного масштаба, на котором более плотная жидкость протекает в менее плотную.

Работа выполнена при поддержке грантов РФФИ № 05-08-01147-а и 06-01-00066-а.

Список литературы

- [1] *Book D.L.* // Encyclopedia of Fluid Mechanics. Vol. 1. Flow Phenomena and Measurement. Huston–London–Paris–Tokyo: Gulf Publishing Company, 1986. P. 213–236.
- [2] *Sapir M., Havazelet D.* // J. Phys. D: Appl. Phys. 1985. Vol. 18. P. 41–46.
- [3] *Kartoon D., Oron D., Arazi L., Shwarts D.* // Laser and Particle Beams. 2003. Vol. 21. P. 327–334.
- [4] *Dimonte G.* // Phys. Rev. E. 2004. Vol. 69. N 5. P. 056 305-1–056 305-14.
- [5] *Clark D.S.* // Phys. Rev. E. 2005. Vol. 71. N 5. P. 055 302-1–055 302-4.

- [6] *Диденкулов И.Н., Селивановский Д.А., Семенов В.Е., Соколов И.В.* // Изв. вузов. Радиофизика. 1999. Т. 42. № 2. С. 183–197.
- [7] *Goncharov V.N., Li D.* // Phys. Rev. E. 2005. Vol. 71. N 4. P. 046 306-1–046 306-9.
- [8] *Григорьев А.И., Земсков А.А., Лазарянец А.Э.* // Электронная обработка материалов. 1991. № 5. С. 35–38.
- [9] *Ширяева С.О., Григорьев А.И., Святченко А.А.* // Препринт ИМ РАН. № 25. Ярославль, 1993. 118 с.
- [10] *Григорьев А.И., Ширяева С.О.* // Изв. РАН. МЖГ. 1994. № 3. С. 3–2.
- [11] *Белоножко Д.Ф., Григорьев А.И.* // Изв. РАН. МЖГ. 2003. № 6. С. 102–109.
- [12] *Климов А.В., Белоножко Д.Ф., Григорьев А.И.* // ЖТФ. 2004. Т. 74. Вып. 1. С. 32–39.